

掃流砂礫量表現の一形式と検討

武藏工業大学 正員 王 方一

要旨：文献[9][10]ではほぼ一様粒径の礫層表面にある粒子の高さ測定に基づいて、移動層が種々の静的マサツ係数を有する粒子で構成され、Gamma分布に従うと仮定し、離脱確率の表現を試みた。また、矢野他の実験によって得た砂礫の集団速度とを併用して、従来の掃流砂関数に接近しうることを示した。本文では単一粒子の移動速度を流速と始動流速の差で表わし、離脱確率を考慮した集団平均速度を用い、従来と異なる形の掃流砂量経験式を資料に基づいて得た。それに先立って、前に提出した実験値の描点を一部修正し、また類似実験の結果をも追加している。

1. ガラス球に関する離脱限界実験

幅20cmの水路で6.6mm直径のガラス球を用い、種々の露出高に対する離脱限界を記録し、芦田他^[5]の修正Shields無次元係数 Sc_1 と d/R_b の関係を図示したが^[9]、剪断速度の計算には底勾配を使用した。それらを不等流を考慮して示したのが図-1である。この図では前回のものに比して、露出高の極端に高い1通りと低い1通りは除外しているが、新たに幅30cmの水路での勾配 $1/200$, $1/400$, $1/600$ 、露出高さ2mmの3通りを追加している。 $d/R_b < 0.07$ では不明であるが、本文では $Sc_1 \approx 0.01$ として問題を検討している。ここで

$$Sc_1 = T_{sc1}/k_{N1} = 1/M_0 \quad \dots \dots \dots (1 \cdot 1)$$

$K_{N1} = \mu_1 \cos \theta - \frac{f_s}{\beta - f} \sin \theta ; \quad M_0 = \frac{3}{4} \left(\frac{f_x}{f_{gx}} \zeta_x C_x + \frac{f_z}{f_{gz}} \zeta_z C_z \right) \beta^2 T_f$ 添字1は單一球の場合を指し、 M_0 には流体力の作用距離、流体力係数、変動効果などが含まれている。緩勾配であれば $K_{N1} \approx \mu_1$ となる。

2. 矿層表面粒子の頂高分布

平均径4.4mm(4.00~4.76mm), 5.2mm(4.76~5.66), 6.2mm(5.66~6.73), 7.3mm(6.73~7.93), 8.7mm(7.93~9.52), 10.3mm(9.52~11.10), 11.9mm(11.10~12.70), 14.10mm(12.70~15.40)のほぼ一様な8種類の自然礫でそれぞれ構成されている礫層をほぼ平らにし、板でかるくあてたのち、上から見える礫の頂点の高さを1方向に順次測定した。(100個以上)・単位面積当たりの数 $N'_b = \alpha n N_b$ ($N_b = k/d^2$, $k \approx 1$ として)に対する高さの各階級の%の分布を調べた。移動層粒子の底点を表面より2d下とし、3種類のみについて示すと図-2, 3, 4のようになる。最頻値の%は8種類について、小粒径から順にそれぞれ39, 30, 37, 27, 25, 22, 24, 22%になっており、概観すると粒径が大きくなると減少する傾向にある。

3. 離脱確率

単位面積当たり、移動層に存在する粒子個数を $N'_b = \alpha n N_b$ とし、表面から下 nd の線(移動層の厚さ)に底点が位置する粒子の水中静的マサツ係数 μ は ∞ とする。表面より上、 nd のところを仮想表面とすれば、これより下へ $(n'+n)d$ までは $\mu = 0 \sim \infty$ の各階級粒子で構成されていると考える(本文では $n \approx 2$, $n = 0.184$ とした)。この性質を表わす分布のうち、Gamma型を採用すると、ある剪断応力の下で、移動層内の粒子の中、離脱可能な割合は

$$P = \int_0^\mu f(\mu_c) d\mu_c \quad \dots \dots \dots (3 \cdot 1)$$

で表わせる。^[9] ここに、 $f(\mu_c) = \lambda(\lambda\mu_c)^{\lambda-1} e^{-\lambda\mu_c} / \Gamma(\lambda)$ $\dots \dots \dots (3 \cdot 1)'$

単一球に関する $Sc_1 = T_{sc1}/\mu_1$ は実験により既知で、実際の礫に関する T_{sc} は諸係数を乗じて表わすことにする。すなわち、流体力に関する遮へい効果を係数 K_ϵ で、形状効果、隣接粒子のかみあい効果などを係数 K_μ で表わすと、 $T_{sc} = T_{sc1}/K_\epsilon K_\mu = (Sc_1/K_\epsilon)(\mu_1/K_\mu) = \mu_1(Sc_1/K_\epsilon)$ より

$$\mu_c = \tau_{sc}/(Sc_1/K_e) \quad \dots \dots \dots \quad (3 \cdot 2)$$

となる。かりに $Sc_1 = 0.01$ とすれば $K_e = 0.6, 0.5, 0.4, 0.3, 0.2$ に対しては Sc_1/K_e はそれぞれ $0.016, 0.02, 0.025, 0.033, 0.05$ となる。式 (3・1) の上限は $\mu = \tau_*/(Sc_1/K_e)$ で決定される。

4. 粒子群の平均速度

剪断応力の増加と共に、粒子の離脱様式、移動様式が変化し、平坦河床、单一粒子の場合でも单一の式で表現することが困難である。実際の状況では砂礫は群をなして移動し、移動粒子相互間、あるいは河床と衝突し、移動様式はさらに複雑となる。こゝでは单一粒子が粒径程度の高さで水路底と離れずに連続移動をするときの速度と離脱確率を用いて群平均速度を表わし、既存の実験値と流砂量資料を用いて補正係数をきめる方式を取っている。

単一粒子の速度を $\bar{u}_s = u_d - u_c = \beta u_* - \beta_c u_{sc}$ [1][7][8] とすれば粒子群平均速度は $\bar{u}_{sm} = \int_0^{\mu} f(\mu_c) \bar{u}_s d\mu_c / P$ となる。 $\beta = \beta_m = \text{const}$, $\beta_c = \beta_{cm} = \beta_m$ とし、無次元化すれば

$$\xi_m = \bar{u}_{sm} / \sqrt{g s d} = \beta_m (1-\gamma) \sqrt{\tau_*} \quad \dots \dots \dots \quad (4 \cdot 1)$$

$$\text{ここで}, \quad \gamma = F_1 / P \sqrt{\mu}, \quad F_1 = \int_0^{\mu} f(\mu_c) \sqrt{\mu_c} d\mu_c \quad \dots \dots \dots \quad (4 \cdot 2)$$

となる。 β_m の変化は § 6 で資料によって検討する。

5. 従来の平坦床掃流砂量式と実験資料

Chien^[2]のFig 5, Paintal^[4]のFig 6, Fig 7 を概観すると、 $\tau_* < 0.04$ では Paintal の実験式 $\phi = (6.58 \times 10^{18}) \tau_*^{16}$ (τ_*^{16} は Einstein 曲線とほとんど一致している。篠原他、矢野他および筆者の実験に基づく式^[9] $\phi' = (3.15 \times 10^{21}) \tau_*^{19.25}$ は Einstein 曲線より低く、 $\tau_* \approx 0.06$ でそれと交っている。 $0.048 < \tau_* < 1.0$ で Gilbert などの実験値（大部分は粗粒平坦床に属する）を対数紙上の直線で表わしている。Finstein 曲線よりかなり低く、 $\tau_* > 1.0$ になると急に高くなる。Einstein 曲線は $\tau_* \approx 1.0$ まで資料で比較されているが、砂礫に関するものは $\tau_* \approx 0.5$ までしか資料がない。点群のほぼ中央を通る曲線部分は $\tau_* \approx 0.4$ まである（Chien, Fig 5）。また、Wilson^[3]、芦田、道上^[8]は実験値あるいは資料に基づいて計算式を示している。実験時河床形態の判断と資料選択の個人差を考え、基準となるべき $\tau_* \sim \phi$ 曲線はきめにいいが、本文では $\tau_* < 0.04$ では Paintal の実験式を、 $\tau_* \geq 0.04$ では Einstein 曲線を基準とし、経験式は $\tau_* < 0.4$ と $\tau_* < 1.0$ の 2 つの範囲について検討している（§ 6）

6. 掃流砂量の表現と経験式

掃流砂量（体積）を $g_B = d_n N_b V_s P \bar{u}_{sm}$ で表わし、 $N_b = 1/d^2$, $V_s = \frac{\pi}{6} d^3$ を入れ、無次元化すれば $\phi = g_B / \sqrt{g s d} = \frac{\pi}{6} d_n P \xi_m$ $\dots \dots \dots \quad (6 \cdot 1)$

を得る。 ξ_m を (4・1) 式で表わすと $\phi = \frac{\pi}{6} d_n P \beta_m (1-\gamma) \sqrt{\tau_*}$ $\dots \dots \dots \quad (6 \cdot 2)$ となる。

平坦床での礫群速度に関する矢野他^[6]の実験結果は図-5 のようである。 $f(\mu_c)$ の最頻値 $f(\hat{\mu}_c) = 25\%$ $k = 3$, $\lambda = 0.92$, $K_e = 0.4$, $Sc_1/K_e = 0.025$ および $f(\hat{\mu}_c) = 30\%$, $k = 3$, $\lambda = 1.10$, $K_e = 0.4$, $Sc_1/K_e = 0.025$ として § 5 で検討した基準の ϕ と (6・1) 式を用い、 $\xi_m = \phi / \frac{\pi}{6} d_n P$ を計算した結果 ($\alpha_n \approx 1$ とした) も図-5 に示す。同図には $\tau_* < 0.06$ に対する篠原他の実験式 ϕ' を用いたときの ξ_m 値も示され、矢野他の実験結果とほぼ一致し、P がほぼ正しいことを示す。

また、 ϕ と $P(1-\gamma)\sqrt{\tau_*}$ との関係は図-6 のようで、 $f(\hat{\mu}_c) = 25\%, 30\%$ 両方とも、 $\tau_* \approx 0.055$ で折れる 2 直線で近似できる。

$$\tau_* < 0.055 \text{ では} \quad \phi = a_1 [P(1-\gamma)\sqrt{\tau_*}]^{b_1} \quad \dots \dots \dots \quad (6 \cdot 3)$$

とおき、 $\tau_* = 0.03$ と 0.055 に対する ϕ 値を用いて a_1 と b_1 をきめれば

$$f(\hat{\mu}_c) = 25\%, \quad k=3 \text{ に對し: } \quad a_1 = 4.07 \times 10^6, \quad b_1 = 4.788 \quad \dots \quad (6 \cdot 4)$$

$$f(\hat{\mu}_c) = 30\%, \quad k=3 \text{ に對し: } \quad a_1 = 1.442 \times 10^6, \quad b_1 = 4.989 \approx 5 \quad \dots \quad (6 \cdot 5)$$

を得る。

$$\tau_* \geq 0.055 \text{ では} \quad \phi = a [P(1-\gamma)\sqrt{\tau_*}]^b \quad \dots \quad (6 \cdot 6)$$

とおき、 $\tau_* = 0.055$ と 0.4 に対する ϕ 値を用いれば

$$f(\hat{\mu}_c) = 25\% \quad k=3 \text{ に對し: } \quad a = 1.545 \times 10, \quad b = 1.844 \quad \dots \quad (6 \cdot 7)$$

$$f(\hat{\mu}_c) = 30\% \quad k=3 \text{ に對し: } \quad a = 1.671 \times 10, \quad b = 2.045 \quad \dots \quad (6 \cdot 8)$$

また $\tau_* = 0.055$ と 1.0 に対する ϕ 値を用いれば

$$f(\hat{\mu}_c) = 25\% \text{ に對し: } \quad a = 1.30 \times 10, \quad b = 1.805 \quad \dots \quad (6 \cdot 9)$$

$$f(\hat{\mu}_c) = 30\% \text{ に對し: } \quad a = 1.304 \times 10, \quad b = 1.981 \quad \dots \quad (6 \cdot 10)$$

を得る。 $(6 \cdot 4), (6 \cdot 5); (6 \cdot 7), (6 \cdot 8); (6 \cdot 9), (6 \cdot 10)$ による計算結果は図-7 に示し、従来の掃流砂関数と比較している。 $(6 \cdot 7)$ と $(6 \cdot 8)$ 式は $\tau_* > 0.4$ で Einstein 曲線より上にあるが Chien の Fig 5 に示す実験点群の中央をよりよく通過している。 $(6 \cdot 9)$ と $(6 \cdot 10)$ 式を用いるときは、 $\tau_* < 1.0$ では Einstein 曲線と Meyer-Peter 式との中間を通る。

次に $\phi = a [P(1-\gamma)\sqrt{\tau_*}]^b$ と $\phi = \frac{A}{\beta} P \xi_m$, $\xi_m = \beta_m (1-\gamma) \sqrt{\tau_*}$ となり

$$\beta_m = \frac{6a}{\pi} [P(1-\gamma)\sqrt{\tau_*}]^{b-1} \quad \dots \quad (6 \cdot 11)$$

を得、これを $(4 \cdot 1)$ 式に入れれば ξ_m は算出できる。

$$\text{また } \frac{A}{\beta} P \xi_m = A [(1-\gamma) \sqrt{\tau_*}]^B \quad \dots \quad (6 \cdot 12) \text{ i.e. } \beta_m = A [(1-\gamma) \sqrt{\tau_*}]^{B-1} \quad \dots \quad (6 \cdot 12')$$

の関係も検討してみたが、 $(6 \cdot 6)$ 式に比して折れる点に対応する τ_* 値と直線をなす範囲がいくぶん異なり、高 τ_* 値へ延長した ϕ の計算値は芦田道上曲線に近い結果を得た。

最後に、文献[9] では、清水勝公（清水建設 K.K.），長村謙（大阪府）両氏（74年卒業）から、また文献[10] および本文では 71 年入学の学生諸氏から、実験、計算、資料 整理などで多大の協力を得た。こゝに感謝の意を表わす。

文 献

- [1] Kalinske, A.A (1947) : Tran. A.G.U, Vol 28, No. 4, 615-620.
- [2] Chien, N. (1954) : Proc. A.S.C.E. Sep. No. 565, HY. Div.
- [3] Wilson, K.C (1966) : Proc. A.S.C.E. HY. 6, 49-59.
- [4] Paintal, A.S (1971) : Jour. Hyd. Res. Vol.9, No. 1, 91-113.
- [5] 芦田・大同・高橋・水山 (1973) : 第 17 回水理講演集, 79-84.
- [6] 矢野・土屋・道上 (1968) : 京大防災研究所年報, 第 11 号 B, 1-13.
- [7] 池田 (1971) : 土木学会論報集第 185 号, 61-69.
- [8] 芦田・道上 (1972) : 土木学会論報集第 206 号, 59-69.
- [9] 王 (1974) : 第 1 回関東支部年次研究発表会概要集, 105-107.
- [10] 王 (1974) : 土木学会第 29 回年次講演概要集, 第 II 部, 239-240.

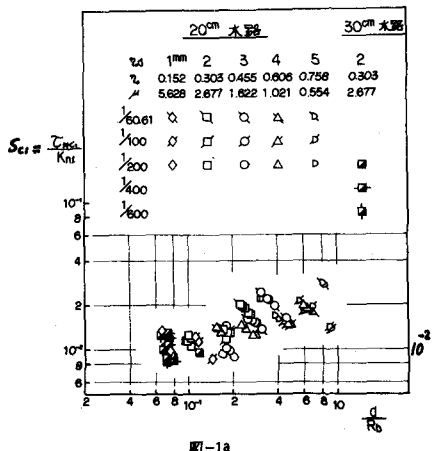


図-1a

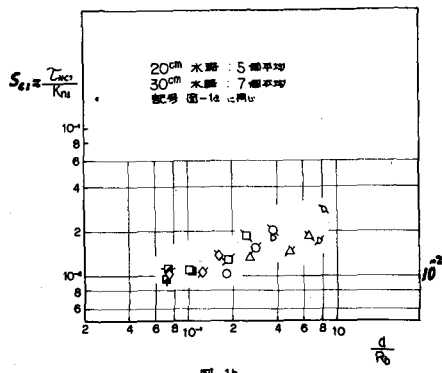
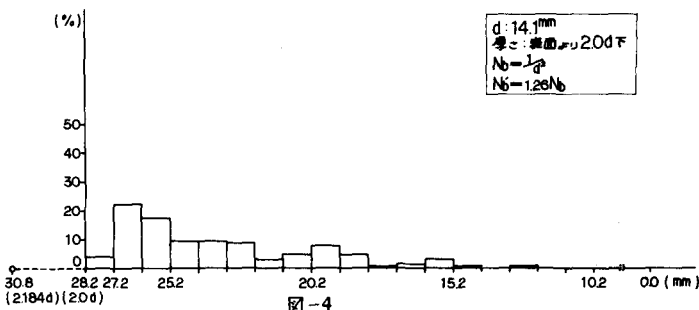
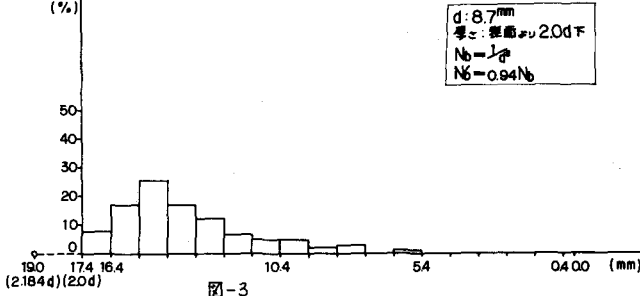
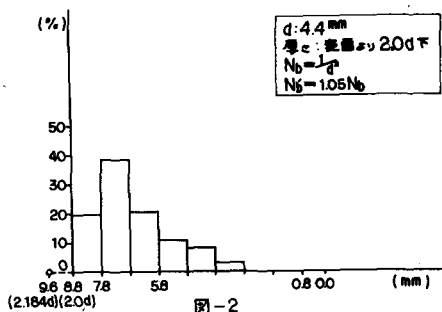


図-1b



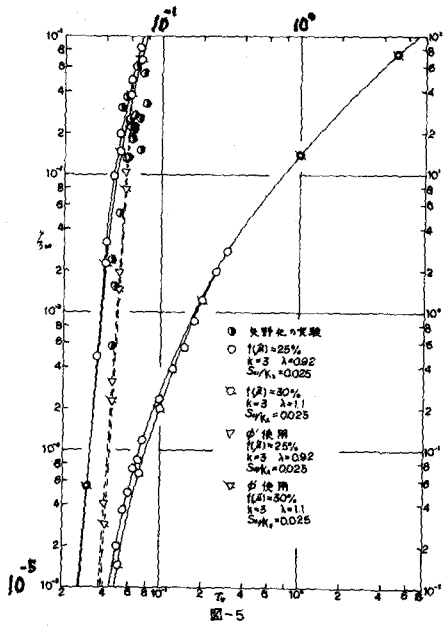


图-5

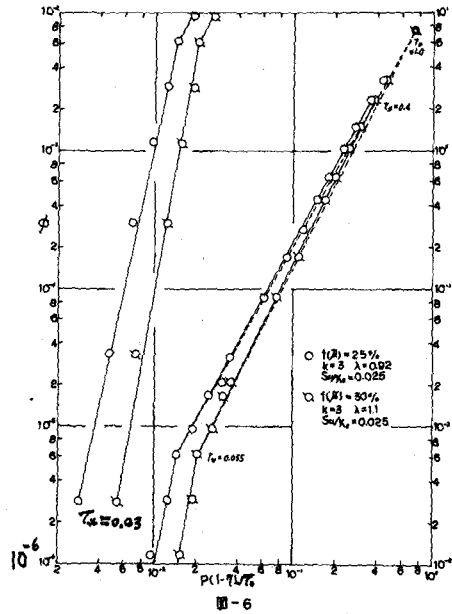


图-6

